

Аккумуляция носителей и сильные приэлектродные поля в освещаемых высокоомных МДПДМ структурах

© Б.И. Резников, Г.В. Царенков

Физико-технический институт им. А.Ф. Иоффе Российской академии наук,
194021 Санкт-Петербург, Россия

(Получена 20 декабря 1995 г. Принята к печати 10 февраля 1996 г.)

Теоретически исследовано влияние туннельной прозрачности диэлектрического слоя $T_{n,p}$ на распределение электрического поля и зависимость ток-интенсивность $j - I_i$ в чистой высокоомной сильно смещенной структуре металл–диэлектрик–полупроводник–диэлектрик металл (МДПДМ).

Показано, что с уменьшением $T_{n,p}$ носители аккумулируются вблизи электродов противоположной полярности, и их плотность резко возрастает в слоях толщиной порядка $l_k = kT/eE_e$ ($E_e = V/d$). Определена область параметров, в которой эффекты аккумуляции столь велики, что поле вблизи электродов заметно растет, и его значения существенно превышают среднее поле.

Зависимость тока от прозрачности определяется барьером Шоттки. При умеренных полях, если фототок много больше темнового, плотность тока с уменьшением $T_{n,p}$ слабо растет, стремясь к максимальному значению eI_i . При сильных полях ток резко растет из-за инжекции носителей через пониженный потенциальный барьер.

Введение

В структурах металл–полупроводник–металл (МПМ) скорости обмена носителями через границу полупроводника порядка тепловых и намного превосходят дрейфовые скорости носителей при напряженностях порядка 10^3 В/см. Поэтому носители не накапливаются в приэлектродных слоях, и в чистых кристаллах при умеренных интенсивностях освещения электрическое поле не испытывает скачков вблизи границ раздела. Характерные особенности фотоэффекта в сильно смещенных высокоомных МПМ структурах при различных условиях эксперимента (интенсивность освещения, приложенное напряжение) и различных объемных параметрах полупроводника (концентрация глубокой примеси и энергия примесного уровня) исследовались в работах [1–5]. Учет диэлектрического слоя между полупроводником и металлом делает существенными ряд поверхностных параметров — высоту барьера между полупроводником и металлом φ_{Bn} и туннельную прозрачность диэлектрической пленки $T_{n,p}$. Влияние φ_{Bn} на распределение поля в катодной части освещаемой структуры при максимальных скоростях обмена носителями было изучено в работе [6]. В [7] для высокоомных структур, содержащих глубокую примесь, было показано, что изменения φ_{Bn} и $T_{n,p}$ через изменение степени заполнения глубокой примеси могут существенно влиять на темновое распределение поля в толще (эффект раскомпенсации при утолщении диэлектрической пленки).

Обнаружение влияния туннельной прозрачности на темновые распределения поля в объеме делает необходимым обобщение исследований на случай освещения. Фотоэффект в структурах металл–

диэлектрик–полупроводник–металл (МДПДМ) с туннельно-прозрачным диэлектриком ранее исследовалась в [8] и в ряде других работ [9]. Однако эти исследования относились к стандартно легированным низкоомным полупроводникам при малых смещениях порядка 1–2 В. Распределение электрического поля в таких структурах в основном определено легированием и слабо меняется с освещением.

Цель настоящей работы — исследовать влияние туннельной прозрачности диэлектрического слоя между полупроводником и металлом на распределение электрического поля в высокоомной сильно смещенной МДПДМ структуре и зависимость ток-интенсивность. Для выделения эффектов прозрачности мы рассматриваем полупроводник, не содержащий глубоких примесей, так что объемная рекомбинация и перезарядка ловушек не включены в модель. Таким образом, настоящее исследование является обобщением [1] на случай произвольной прозрачности границ.

1. Постановка задачи

Рассматривается МДПДМ структура, к которой приложено напряжение V , намного большее всех барьеров. На полупрозрачный анод падает собственный монохроматический свет ($h\nu \gtrsim E_g$). Рассмотрение переноса носителей в полупроводнике базируется на системе уравнений непрерывности в диффузионно-дрейфовом приближении и уравнении Пуассона [1]. Диэлектрические слои характеризуются коэффициентами прозрачности T_n , T_p (вероятностями туннелирования носителей), так что граничные условия на поверхности раздела полупроводник–диэлектрик

$x = 0$ и $x = d$ имеют вид (см., например, [1,9,10])

$$q_n(0) = -V_{n0}^T \left(n_0 - n_0^{eq} \exp \left(-\frac{eV_i^0}{kT} \right) \right) - q_s(0), \quad (1)$$

$$q_p(0) = -V_{p0}^T \left(p_0 - p_0^{eq} \exp \left(\frac{eV_i^0}{kT} \right) \right) - q_s(0),$$

$$q_n(d) = V_{nd}^T \left(n_d - n_d^{eq} \exp \left(\frac{eV_i^d}{kT} \right) \right) + q_s(d), \quad (2)$$

$$q_p(d) = V_{pd}^T \left(p_d - p_d^{eq} \exp \left(-\frac{eV_i^d}{kT} \right) \right) + q_s(d).$$

Здесь $V_n^T = T_n V_n$, $V_p^T = T_p V_p$, $V_n = A_n^* T^2 / e N_c$, $V_p = A_p^* T^2 / e N_v$, A_n^* , A_p^* — эффективные константы Ричардсона, V_i^0 , V_i^d — падение напряжения на пленках у контактов $x = 0$ и $x = d$. Рекомбинационный поток на границах записывается для модели одиночного поверхностного уровня.

Экспоненциальные множители в условиях (1) учитывают изменения барьеров со стороны металла из-за падения напряжения V_i^0 , V_i^d на диэлектрических слоях. В данной работе мы будем полагать их толщины достаточно тонкими, так что $eV_i/kT \ll 1$. Для полей порядка $10^3 \div 10^4$ В/см поправка к равновесным концентрациям не превосходит 10%, если толщина слоя ограничена значениями ($25 \div 250$) Å. Таким образом, потоки на границах (1) практически совпадают с выражениями, рассмотренными в [1] (дополнительно учтена поверхностная рекомбинация), однако скорости эмиссии V_n^T , V_p^T могут меняться в широких пределах, поскольку пропорциональны прозрачностям диэлектрических слоев.

Коэффициенты туннельной прозрачности T_n , T_p экспоненциально зависят от функции, содержащей толщину слоя δ , туннелирующую массу $m_{n,p}$, высоту барьера для туннелирования $\Phi_{n,p}$, а также величину падения напряжения на слое V_i (см., например, [9,11,12]). Из-за отсутствия надежной информации об этих величинах зависимость T_n , T_p от характеристик пленки не детализируется, и коэффициент прозрачности используется как входной параметр, не зависящий от V_i .

2. Темновой ток

2.1. Рассматривалась высокомоменная структура шириной $d = 0.3$ см с эффективной плотностью акцепторов в единице объема $N_a = 10^8$ см⁻³. Величина барьера между полупроводником и металлом бралась равной $\varphi_{Bn} = 1$ В. Это соответствует случаю, когда равновесная концентрация дырок p^{eq} на границах полупроводника намного больше N_a , n_i и n^{eq} . Примененное к структуре напряжение изменялось от 1 до 6000 В. Значения остальных параметров такие же, как и в работе [1]. Коэффициенты прозрачности изменялись в пределах $T_n = T_p = 1 \div 10^{-5}$.

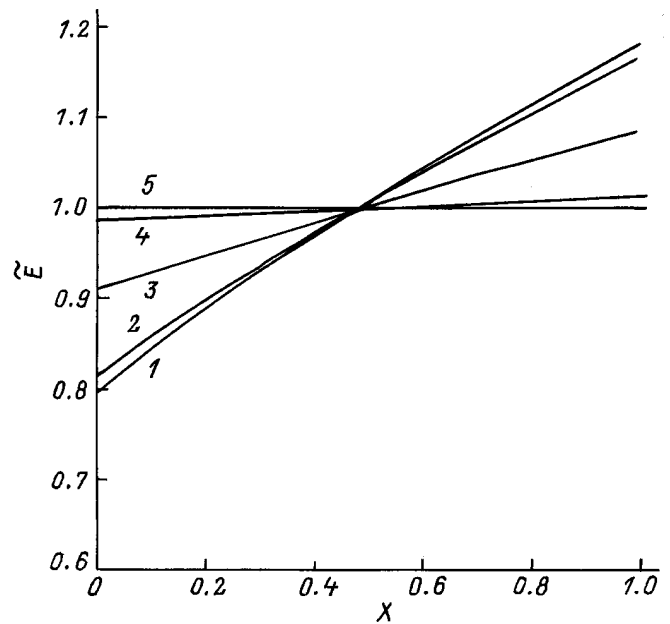


Рис. 1. Влияние туннельной прозрачности границ на темновые профили электрического поля, $\tilde{E} = E/E_e$, $E_e = V/d$. Т: 1 — 1, 2 — 10^{-1} , 3 — 10^{-2} , 4 — 10^{-3} , 5 — 10^{-5} .

На рис. 1 представлены распределения электрического поля $\tilde{E}(X)$ ($\tilde{E} = E/E_e$, $E_e = V/d$, $X = x/d$) при различных коэффициентах прозрачности. Зависимость $\tilde{E}(X)$ почти линейна и при уменьшении прозрачности стремится к распределению, близкому к однородному ($\tilde{E}(X) \approx 1$), с малым отрицательным наклоном. При этом концентрация дырок в толще уменьшается, а распределение их становится также более однородным (рис. 2). Вблизи катода происходит накопление дырок в узком пограничном слое толщиной $\delta^- \simeq 10^{-4}d$, а концентрация p_d растет, стремясь к значению $2p_0^{eq}$. Поведение электронов с точностью до полярности аналогично поведению дырок. Их концентрация в толще намного меньше дырочной и падает в толще с уменьшением прозрачности. Распределение $n(X)$ испытывает скачок в диффузионном слое вблизи анода, стремясь с уменьшением прозрачности к значению $2n_0^{eq}$.

Характеристика ток—напряжение при различных значениях прозрачности представлена на рис. 3. В интервале прозрачностей $1 \div 10^{-2}$ ток уменьшается относительно слабо, а при дальнейшем уменьшении прозрачности зависимость $j(T)$ становится более сильной в области больших напряжений, порядка нескольких сотен вольт. При больших напряжениях ток стремится к асимптотическому значению, зависящему от прозрачности, при этом для меньших значений прозрачности асимптота достигается при меньших напряжениях.

2.2. Теоретический анализ распределений дырок $P(X)$ и электрического поля $\tilde{E}(X)$ для темнового

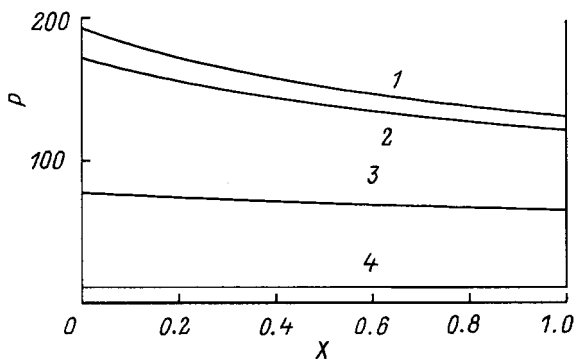


Рис. 2. Влияние туннельной прозрачности границ на темновые профили дырок, $P = p/N_a$. T : 1 — 1, 2 — 10^{-1} , 3 — 10^{-2} , 4 — 10^{-3} .

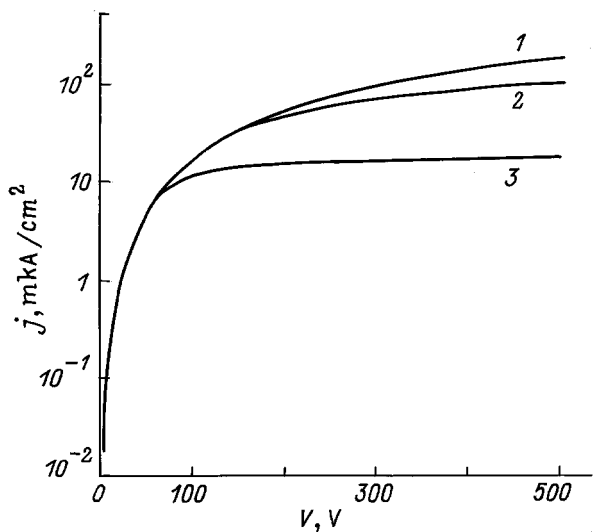


Рис. 3. Характеристика ток—напряжение при отсутствии освещения для различных значений туннельной прозрачности. T : 1 — 1, 2 — 10^{-2} , 3 — 10^{-3} .

случая проведен в работе [7] (см. формулы (2), (4), (5) и (15)), где показано, что выражение для граничных значений концентраций носителей, выведенные в [1], остаются справедливыми и при произвольной прозрачности. Полученные при условии $p^{eq} \gg N_a$ зависимости $E(x)$, $P(x)$ и $j(T)$ (рис. 1–3) объясняются уменьшением потоков дырок из металла и объемного заряда в толще. Уменьшение прозрачности диэлектрического слоя приводит к аккумуляции носителей у электродов, противоположной полярности. Этот эффект является основным и в случае фотогенерации. Однако, из-за того что плотность фотовносителей у контактов может существенно превзойти их темновые значения, это может привести к появлению в узких приэлектродных слоях высоких плотностей объемного заряда, способных повлиять на сами электрические поля. Количественные аспекты явления исследуются в разд. 3.

3. Фотоэффект, результаты численных расчетов

Численные расчеты проводились для интенсивности освещения $I_i = 10^{15} \text{ см}^{-2} \cdot \text{с}^{-1}$ и приложенного напряжения $V = 600$ В. Коэффициент поглощения света $\alpha = 10^4 \text{ см}^{-1}$. Значения барьеров на границе полупроводника брались $\varphi_{Bn} = 0.71$ и 1 В. В граничных условиях учитывалась поверхностная рекомбинация. Считалось, что одиночный поверхностный уровень находится в середине запретной зоны и $s_n = s_p = 10^6 \text{ см/с}$. Из-за неопределенности количественных характеристик (высоты барьеров, значения эффективных масс туннелирующих носителей) считалось, что $T_n = T_p = T$. Величина прозрачности варьировалась в интервале $T = 1 \div 10^{-8}$.

Изучим сначала распределения $N(X)$ ($N = n/N_a$, $X = x/d$) вблизи анода. Из рис. 4 видно, что уменьшение прозрачности до значения нескольких сотых приводит к изменению знака производной dN/dX в приэлектродном слое и образованию слоя с повышенной электронной концентрацией при дальнейшем уменьшении прозрачности. Концентрация N_0 увеличивается обратно пропорционально прозрачности, а толщина слоя отрицательного объемного заряда слабо (логарифмически) растет. Вид распределения $N(X)$ свидетельствует об экспоненциальной зависимости от координаты. При некотором удалении от анода имеется область, где $N(X)$ практически не зависит от прозрачности T . В глубине полупроводни-

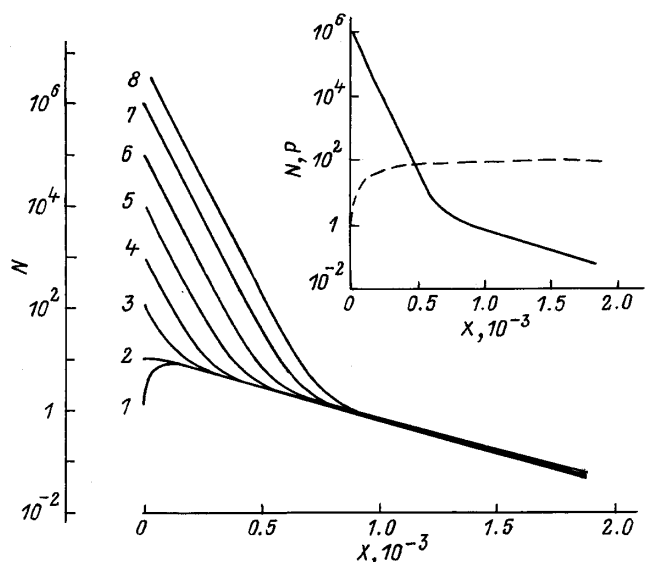


Рис. 4. Распределение электронной концентрации $N = n/N_a$ вблизи анода при различной туннельной прозрачности диэлектрического слоя. T : 1 — 1, 2 — 10^{-1} , 3 — 10^{-2} , 4 — 10^{-3} , 5 — 10^{-4} , 6 — 10^{-5} , 7 — 10^{-6} , 8 — 10^{-7} . На вставке — распределение концентрации электронов (сплошная линия) и дырок (штриховая линия) вблизи анода ($T = 10^{-6}$).

ка ($X > 0.002$) зависимости $N(X, T)$ расщепляются, причем с уменьшением T (как и в темновом случае) концентрация $N(X)$ уменьшается.

Дырочная концентрация $P(X) = p(x)/N_a$ вблизи анода в слое толщиной примерно α^{-1} растет и много меньше $N(X)$ (рис. 4, вставка). Это связано с приложенным смещением и действием поверхностной рекомбинации, при этом распределение P вблизи анода и величина P_0 слабо зависят от прозрачности границ. Изменение концентрации дырок происходит в более узком слое, что связано с меньшим коэффициентом диффузии. Из-за быстрого уменьшения концентрации электронов уже при $X \gtrsim 5\alpha^{-1}$ выполняется неравенство $P \gg N$. При $X \simeq 10\alpha^{-1}$ дырочная концентрация достигает максимума и далее в толще полупроводника убывает по закону $pE = \text{const}$. Затем она проходит через минимальное значение в точке, отстоящей от катода примерно на $2l_E^d = 2kT/eE_d$, и при малой туннельной прозрачности пленки резко растет в диффузионном слое вблизи катода (рис. 5). Толщина последнего, так же как и прианодного слоя, порядка нескольких единиц l_E и логарифмически растет с уменьшением прозрачности. Заметим, что идея об определяющей роли накопления носителей в приэлектродных слоях как механизма поддержания постоянства фототока при пониженной прозрачности диэлектрического слоя высказывалась в работе [13].

Рассмотрим поведение поля $\tilde{E}(X)$. Аккумуляция носителей у электродов противоположной полярности приводит при достаточно малых значениях прозрачности $T \lesssim 10^{-6}$ к заметным изменениям поля в слоях объемного заряда. Значения полей на границах раздела \tilde{E}_0 и \tilde{E}_d растут (рис. 6), и при $T \lesssim 10^{-7}$ (для

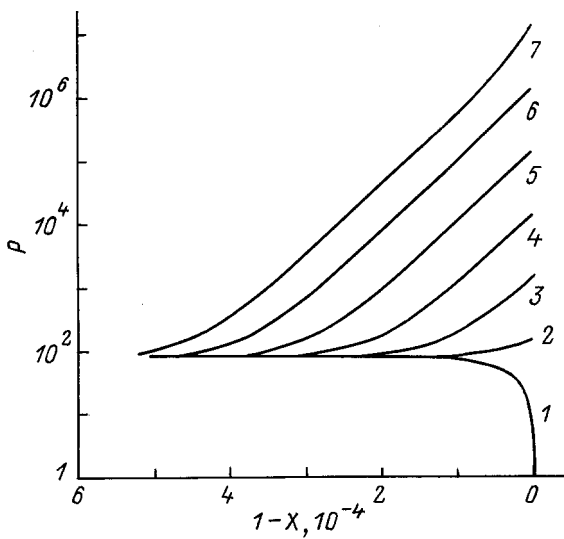


Рис. 5. Распределение дырочной концентрации $P = p/N_a$ в приэлектродном слое вблизи катода при различной туннельной прозрачности диэлектрического слоя. T : 1 — 1, 2 — 10^{-2} , 3 — 10^{-3} , 4 — 10^{-4} , 5 — 10^{-5} , 6 — 10^{-6} , 7 — 10^{-7} .

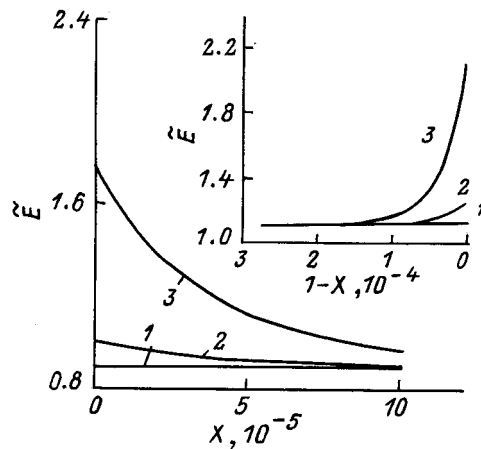


Рис. 6. Распределение электрического поля в приэлектродном слое вблизи анода и вблизи катода (на вставке) при различных значениях прозрачности. T : 1 — 10^{-5} , 2 — 10^{-6} , 3 — 10^{-7} .

$I_i = 10^{15} \text{ см}^{-2} \cdot \text{с}^{-1}$) их изменения становятся порядка самих значений \tilde{E}_0 и \tilde{E}_d . Вне приэлектродных слоев в толще профиль поля близок к изученному в [1] распределению для МПМ структуры и слабо зависит от туннельной прозрачности границ.

Рассмотрим зависимость плотности тока через структуру от прозрачности. Сравнение результатов при $\varphi_{Bn} = 0.71$ и 1 В показало различный тип функции $j(T)$. При $\varphi_{Bn} = 0.71$ В, когда темновой ток много меньше фототока, плотность тока с уменьшением прозрачности слабо возрастает, стремясь к значению eI_i . При этом из-за большого различия концентраций носителей вблизи электродов поверхностная рекомбинация неэффективна, и величина q_s много меньше эмиссионного потока носителей через границу. Более сложной является зависимость $j(T)$ при $\varphi_{Bn} = 1$ В. В этом случае (при $T_{n,p} \simeq 1$) темновой ток, пропорциональный величине p_0^{eq} , существен (при $I_i = 10^{15} \text{ см}^{-2} \cdot \text{с}^{-1}$). При больших значениях прозрачности $T \gtrsim 10^{-2}$ дырочная концентрация даже превосходит электронную. В этом случае уменьшение прозрачности приводит к значительному уменьшению тока (как и в темновом случае). При этом из-за сопоставимости концентраций N и P рекомбинационный поток $q_s(0)$ (в зависимости от величины прозрачности) составляет 50–99% значения I_i . При дальнейшем снижении прозрачности вклад темнового тока становится несущественным, и при $T \lesssim 10^{-4}$ поведение зависимости $j(T)$ такое же, как в случае $\varphi_{Bn} = 0.71$ В, т. е. медленное стремление к значению eI_i .

Таким образом, уменьшение прозрачности границ высокоомной сильно смещенной МДПДМ структуры приводит к формированию приэлектродных слоев объемного заряда настолько высокой плотности, что изменение полей вблизи электродов становится

сравнимым с E_e и даже превышает значения среднего поля. Освещаемые МДПДМ структуры с прозрачностью ниже некоторой критической величины ($T \lesssim 10^{-8} \div 10^{-9}$ при $I_i = 10^{15} \text{ см}^{-2} \cdot \text{с}^{-1}$) — это структуры с сильными электрическими полями вблизи границ. Детали и количественные соотношения проясняются в следующем разделе, где дано рассмотрение случаев больших и малых прозрачностей границ.

4. Аналитическое рассмотрение фотоэффекта

4.1. При отсутствии объемной и поверхностной рекомбинации аналитическое рассмотрение фотоэффекта в МДПДМ структуре не отличается от проделанного в [1] для МПМ структуры, если значения туннельной прозрачности T_n , T_p таковы, что граничные значения электрического поля практически не изменяются ($T_{n,p} \gtrsim 10^{-6}$ при интенсивности $I_i = 10^{15} \text{ см}^{-2} \cdot \text{с}^{-1}$). В этом случае при выполнении условий $eV/kT \gg 1$, $E_0 > 0$, $l_E/d \ll 1$, $((l_E/d)dE/dx)_{0,d} \ll 1$ можно пользоваться формулами, выведенными в [1], с заменой V_n , V_p на V_n^T , V_p^T . При наличии поверхностной рекомбинации выражения для концентраций и тока также могут быть найдены из решения системы уравнений, следующей из граничных условий (1) и соотношений, полученных интегрированием уравнений непрерывности для электронов и дырок методом перевала аналогично [1]. Решение достаточно громоздко, однако в частном случае, когда $n_0 \gg p_0$, $p_d \gg n_d$ и, следовательно, $q_s(0) = s_p p_0$, $q_s(d) = s_n n_d$, оно упрощается и имеет вид

$$n_0 = \frac{I_i}{V_n^T} \left(1 - \frac{s_p}{V_\Sigma^p} \frac{\alpha l_E^0}{1 + \alpha l_E^0} \right) + \left(1 + \frac{v_{dr}^n}{V_\Sigma^n} \right) n_0^{eq} - \frac{s_p}{V_\Sigma^p} p_0^{eq}, \quad (3)$$

$$V_\Sigma^p = s_p + v_{dr}^p + V_p^T, \quad V_\Sigma^n = s_n + v_{dr}^n + V_n^T, \quad (4)$$

$$v_{dr}^p \equiv \mu_p E_0, \quad v_{dr}^n \equiv \mu_n E_d, \quad l_E^0 = kT/eE_0, \quad (5)$$

$$n_d = \frac{V_n^T}{V_\Sigma^n} n_0^{eq}, \quad (6)$$

$$p_0 = \frac{I_i}{V_\Sigma^p} \frac{\alpha l_E^0}{1 + \alpha l_E^0} + \frac{V_p^T}{V_\Sigma^p} p_0^{eq}, \quad (7)$$

$$p_d = \frac{I_i}{V_p^T} \left(1 - \frac{s_p + V_p^T}{V_\Sigma^p} \frac{\alpha l_E^0}{1 + \alpha l_E^0} \right) + \left(1 + \frac{v_{dr}^p}{V_\Sigma^p} \right) p_0^{eq} - \frac{s_n}{V_\Sigma^n} n_0^{eq}. \quad (8)$$

Полный ток через структуру

$$j = eI_i \left(1 - \frac{s_p + V_p^T}{V_\Sigma^p} \frac{\alpha l_E^0}{1 + \alpha l_E^0} \right) + j_0, \quad (9)$$

$$j_0 = ev_{dr}^p p_0^{eq} \frac{V_p^T}{V_\Sigma^p} + ev_{dr}^n n_0^{eq} \frac{V_n^T}{V_\Sigma^n}. \quad (10)$$

Формулы (3)–(10) описывают:

— аккумуляцию носителей у электродов противоположного знака при уменьшении прозрачности — $n_0 \sim 1/V_n^T$, $p_d \sim 1/V_p^T$;

— независимость от прозрачности концентрации дырок у анода p_0 при малых прозрачностях;

— разнообразную, в общем случае немонотонную зависимость тока от прозрачности, которая определяется соотношением фототока и тока равновесных электронов и дырок j_0 , определяемого через p_0^{eq} , n_0^{eq} величиной φ_{Bn} ; при этом, если скорости обмена намного меньше дрейфовых скоростей и $j_0 \ll I_i$, ток весьма слабо зависит от прозрачности.

Последний результат связан с тем, что при малых прозрачностях диффузионный поток фотогенерированных дырок к аноду стремится к нулю, и в структуре при отсутствии объемной рекомбинации происходит полное разделение зарядов, т. е. квантовый выход близок к 1. Постоянный поток дырок через границу полупроводник–диэлектрик при уменьшении прозрачности поддерживается за счет увеличения градиента дырочной концентрации вблизи катода из-за накопления дырок в слое толщиной несколько единиц l_E (рис. 5).

Следует отметить, что в формулах (3)–(10) нельзя устремлять значения прозрачностей к нулю, так как в этом случае (как было показано в разд. 3) вблизи электродов из-за аккумуляции носителей имеют место резкие изменения поля в слоях толщиной несколько l_E . Последнее нарушает условия гладкого изменения поля вблизи границ, при которых были выведены эти соотношения.

Следует также отметить, что поверхностная рекомбинация не ограничивает рост концентраций n_0 и p_d при уменьшении прозрачности границ. Это объясняется значительным отличием электронной и дырочной концентраций вблизи электродов при больших смещениях — $n_0 \gg p_0$, $p_d \gg n_d$. Заметим, что формулы (3)–(10) при s_n , s_p не равных нулю имеют ограниченную применимость, поскольку они выведены для частного вида q_s , следующего из вышеприведенных неравенств.

4.2. Дадим аналитическое описание физической картины в случае достаточно малых прозрачностей, когда $\Delta E/E_e \gg 1$. Разобъем полупроводник на четыре характерных области. Вблизи анода расположена область сильного поля, где выполняется условие $n \gg p$. Далее располагается область, в которой поле порядка E_e , однако еще существенна генерация носителей. В глубине располагается дрейфовая область, где $p \gg n$ и $pE = \text{const}$. Вблизи катода снова расположена область сильного поля, где $p \gg n$.

4.2.1. В области 1 плотность объемного заряда в уравнении Пуассона зависит только от электронной концентрации. Распределение последней квазиравновесно $n = n_0 e^\psi$ ($\psi = e\varphi/kT$), что следует из условия $q_n(x) = -D_n dn/dx - \mu_n En = 0$, поскольку при

сильных полях и больших градиентах концентраций дрейфовая и диффузионная составляющая намного больше полного потока. В этом приближении, использовавшимся еще Моттом и Герни [14] для определения поля вблизи контакта металл–изолятор, уравнение для потенциала имеет вид

$$d^2\psi/d\xi^2 = e^\psi, \quad (11)$$

где $\xi = x/L_D^n$ — расстояние от поверхности, нормированное на дебаевский радиус, определенный через поверхностную электронную концентрацию n_0 . В случае, когда поле в глубине намного меньше, чем у поверхности (т. е. если при $\xi \gg 1$ выполняется $d\psi/d\xi \ll 1$, $\psi < 0$ и $|\psi| \gg 1$), решения для потенциала, поля и концентраций имеют вид

$$\psi(\xi) = -2 \ln \left(1 + \frac{\xi}{\sqrt{2}} \right), \quad (12)$$

$$E(x) = \frac{kT}{eL_D^n} \frac{\sqrt{2}}{1 + \frac{x}{\sqrt{2}L_D^n}} = \frac{E_0}{1 + \frac{x}{\sqrt{2}L_D^n}}, \quad (13)$$

$$n(x) = \frac{n_0}{\left(1 + \frac{x}{\sqrt{2}L_D^n} \right)^2}. \quad (14)$$

Из (13) и (14) следует весьма интересное равенство

$$\frac{\varepsilon E^2(x)}{8\pi} = kTn(x), \quad (15)$$

согласно которому в области 1 давление электрического поля и электронного газа уравновешивают друг друга.

Решения (12)–(14) полностью определены, если известно значение n_0 . С хорошим приближением величина n_0 может быть определена из соотношений $q_n(d) - q_n(0) = I_i$ и $q_n(0) = -V_n^T(n_0 - n_0^{eq}) - s_p p_0$. Если $q_n(d) - V_n^T n_0^{eq} + s_p p_0 \ll I_i$, то $n_0 = I_i/V_n^T$. Заметим также, что введенная ранее характерная полевая длина $l_E^0 = kT/eE_0$ в рассматриваемом здесь случае равна $L_D^n/\sqrt{2}$. Оценим ширину δ^+ области 1, определив ее условием $E(\delta^+) = E_e$. Из выражения (13) получаем

$$\delta^+ = 2kT/(eE_e) - \sqrt{2}L_D^n \approx 2kT/(eE_e). \quad (16)$$

4.2.2. В области сильного поля вблизи катода ($d - \delta^- \leq x \leq d$, $\delta^- \simeq \delta^+$), где $p \gg n$, справедливы те же соображения, что и в области 1, с той разницей, что нормировка расстояния $d-x$ производится на дебаевскую длину $L_D^p = [\varepsilon kT/(4\pi e^2 p_d)]^{1/2}$, содержащую концентрацию p_d . Решение в этой области имеет вид, аналогичный (12)–(14) с заменой ψ на $\psi_d - \psi$, координаты x на $d-x$, концентрации p на n и индекса 0 на d . В этой области выполняется равенство давлений дырочного газа и поля, аналогичное (15). Величина p_d , входящая в L_D^p , определена равенством $p_d = I_i/V_p^T$, если $|q_p(0) + V_p^T p_d^{eq} - s_p n_d| \ll I_i$.

4.2.3. В дрейфовой области ($x_n \leq x \leq x_p$, $x_n \simeq 3\alpha^{-1}$, $x_p \simeq d - \delta^-$) выполняются условия $p \gg n$, $q_p = \mu_{pp}E = \text{const}$, так что

$$\frac{dE}{dx} = \frac{4\pi e}{\varepsilon} p(x) = \frac{4\pi e q_p}{\varepsilon \mu_p E}. \quad (17)$$

Интегрируя (17), получим для величины $\tilde{E} = E(x)/E_e$ выражение

$$\begin{aligned} \tilde{E}(X) &= \left(\tilde{E}(X_p) + a(X - X_p) \right)^{1/2}, \quad a = 2q_p/I_*, \\ X_p &= x_p/d, \quad I_* = \frac{\varepsilon \mu_p V^2}{4\pi e d^3}. \end{aligned} \quad (18)$$

Интегрируя (18) по промежутку (X_n, X_p) , получим для падения напряжения V_{sd} в дрейфовой области полупроводника

$$\frac{V_{sd}}{V} = \frac{2\tilde{E}^3(X_p)}{3a} \left\{ 1 - \left[1 - \frac{a}{\tilde{E}^2(X_p)} (X_p - X_n) \right]^{3/2} \right\}. \quad (19)$$

При $a \ll 1$ (что означает $I_i \ll I_*/2$) это дает

$$\tilde{E}(X_p) = \frac{V_{sd}}{V(X_p - X_n)} \left[1 + \frac{a}{4} (X_p - X_n)^3 \frac{V^2}{V_{sd}^2} \right]. \quad (20)$$

Аналогичное выражение получается для $\tilde{E}(X_n)$, однако второе слагаемое в квадратных скобках берется со знаком минус. Заметим, что из (18) и (19) следует, что при $X_n \simeq 0$, $X_p \simeq 1$, $V_{sd} \simeq V$ поле $\tilde{E}(X_n)$ уменьшается до 0, а $\tilde{E}(X_p) \simeq 3/2$, когда $q_p = 9/8I_*$. Это означает, что внутри дрейфовой области зависимость поля от интенсивности качественно такая же, как и для МПМ структуры с высокой скоростью обмена носителями.

Полученные в 4.2.1–4.2.3 формулы полностью определяют распределение поля и потенциала в структуре, что позволяет определить распределение концентраций носителей и ток.

4.2.4. Интегрируя выражение для q_p и действуя аналогично [1], получим при $p_0 \exp(\psi_d) \ll p_0$ соотношение

$$p_0 = \frac{1}{D_p} \int_0^d q_p(x) e^{\psi(x)} dx = \frac{1}{D_p} \frac{V_p^T p_0^{eq} I_1 + I_i(I_1 - I_2)}{1 + \frac{V_p^T + s_p}{D_p} I_1}, \quad (21)$$

где

$$I_1 = \int_0^d \exp(\psi(x)) dx, \quad I_2 = \int_0^d \exp(\psi(x) - \alpha x) dx. \quad (22)$$

При выводе второго выражения в правой части (21) использовался интеграл уравнения непрерывности для дырок $q_p(x) = q_p(0) + I_i(1 - e^{-\alpha x})$ и граничное условие $q_p(0) = -V_p^T(p_0 - p_0^{eq}) - s_p p_0$.

Разбивая область интегрирования на область сильного поля вблизи анода $0 \leq x \leq \delta^+$ и остальную часть структуры $\delta^+ \leq x \leq d$ и используя метод перевала, получим с точностью до членов порядка $(n(\delta^+)/n_0)^{1/2}$

$$p_0 = \frac{I_i \alpha l_E^0 (-\psi_+ - 2\alpha\delta^+) + V_p^T p_0^{eq}}{s_p + V_p^T + v_{dr}^p/2}. \quad (23)$$

Из (23) видно, что поверхностная концентрация фотогенерированных дырок есть произведение трех множителей. Первый — плотность потока фотонов, деленная на скорость ухода дырок с поверхности. Второй учитывает уменьшение концентрации из-за того, что не все прогенерированные на длине α^{-1} дырки преодолевают энергетический барьер с характерным полем E_0 . Последний множитель учитывает неоднородность электрического поля в области шириной δ^+ , которая дает основной вклад в дырочный поток к аноду.

Сделаем численные оценки характерных величин. Рассмотрим следующие исходные параметры: $I_i = 10^{15} \text{ см}^{-2} \cdot \text{с}^{-1}$, $T_n = T_p = 10^{-9}$, $V_p^T = 6 \cdot 10^{-3} \text{ см}/\text{с}$, $V_n^T = 8.5 \cdot 10^{-3} \text{ см}/\text{с}$, $s_p = s_n = 10^7 \text{ см}/\text{с}$, $\varphi_{Bn} = 0.71 \text{ В}$, $p_0^{eq} = 2.5 \cdot 10^5 \text{ см}^{-3}$, $E_e = 2 \cdot 10^3 \text{ В}/\text{см}$, $\alpha = 10^4 \text{ см}^{-1}$.

Тогда $n_0 = 1.2 \cdot 10^{17} \text{ см}^{-3}$, $L_D^n = 1.2 \cdot 10^{-6} \text{ см}$, $\delta^+ = 2.4 \cdot 10^{-5} \text{ см}$, $n(\delta^+)/n_0 = 1/252$, $E_0/E_e = 15.9$, $E_0 = 3.2 \cdot 10^4 \text{ В}/\text{см}$, $p_0 = 3.8 \cdot 10^6 \text{ см}^{-3}$, $-\psi_+ = 5.52$, $\alpha l_E^0 = 0.008$. При принятых значениях φ_{Bn} относительный вклад слагаемого, содержащего p_0^{eq} в выражении (23), порядка 10^{-9} .

Итак, в рассматриваемых условиях ($T_{n,p} \simeq 10^{-9}$, $I_i = 10^{15} \text{ см}^{-2} \cdot \text{с}^{-1}$) вблизи анода в слое толщиной $\simeq 100 \text{ \AA}$ создается электронная концентрация $\simeq 10^{17} \text{ см}^{-3}$. Это приводит к значениям поля, на порядок превышающим внешнее, но недостаточным для создания заметных падений напряжения на пленке. Физическая картина в приэлектродных слоях напоминает явления в области сильных полей стандартно легированных полупроводников (n - s - или p - n -структур), однако в рассмотренном случае происходит обогащение, а не обеднение носителями этих слоев. Дальнейшее уменьшение прозрачности выводит анализ за рамки принятой модели в силу появления больших плотностей носителей у электродов и характерных длин, сравнимых с длиной свободного пробега носителей. В этой области параметров газ носителей становится двумерной системой.

4.2.5. Для нахождения плотности тока используем выражение $j/e = q_p(0) - q_n(0) = I_i + q_p(0) - q_n(d)$, где поток $q_p(0) = -V_p^T(p_0 - p_0^{eq}) - s_p p_0$ определяется концентрацией p_0 (формула (23)), а электронный поток $q_n(d) = -V_n^T(n_d - n_d^{eq}) + s_n n_d$ зависит от концентрации n_d , которая вычисляется аналогично p_0 . Окончательно находим

$$j/e = I_i \left[1 - \frac{\alpha l_E^0 (s_p + V_p^T)(-\psi_+ - 2\alpha\delta^+)}{s_p + V_p^T + v_{dr}^p/2} \right] + j_0/e, \quad (24)$$

$$j_0/e = \frac{V_p^T v_{dr}^p p_0^{eq}}{2(s_p + V_p^T + v_{dr}^p/2)} + \frac{V_n^T v_{dr}^n n_0^{eq}}{2(s_n + V_n^T + v_{dr}^n/2)}. \quad (25)$$

Выражение (24) содержит два различных слагаемых — фототок и ток тепловой генерации j_0 . Фототок примерно пропорционален I_i и с уменьшением прозрачности слабо растет, стремясь к eI_i . Это означает, что возникающее у анода поле полностью препятствует диффузии дырок к аноду. Видно также, что поверхностная рекомбинация мало влияет на фототок, что связано с тем, что $n_0 \gg p_0$. Зависимость от внешнего напряжения фототока учитывается через величину ψ_+ ($-\psi_+ = 2 \ln(E_0 d/V)$). С уменьшением напряжения ток уменьшается, однако использовать формулу (24) для малых V не следует, так как нарушаются условия, при которых она выведена.

Ток тепловой генерации j_0 в отличие от фототока примерно пропорционален прозрачности и его вклад в полный ток определяется в основном величиной барьера φ_{Bn} . В рассмотренном выше численном примере ($\varphi_{Bn} = 0.71 \text{ В}$) ток j_0 был несуществен. Отметим, что поверхностная рекомбинация может существенно снизить величину j_0 и что последний зависит от I_i через дрейфовые скорости носителей.

5. Обсуждение результатов

Следует указать на одно существенное отличие зависимости ток–интенсивность при малых изменениях поля (9) от аналогичной зависимости (24) в случае сильных изменений поля вблизи электродов. В первом случае при интенсивностях, превосходящих характерное значение I_* , экранировка значительной части внешнего поля фотогенерированными дырками уменьшает поле у анода E_0 , что дает сублинейную зависимость $j(I_i)$ [1]. Во втором вблизи анода преувеличивают аккумуляционные эффекты, $E_0 > E_e$, и зависимость $j(I_i)$ почти линейна. Какова будет зависимость $j(I_i)$ для структур с различной туннельной прозрачностью границы раздела? Можно предположить, что вид функции $j(I_i)$ определяется конкуренцией между упомянутыми двумя процессами, т. е. зависит от соотношения между интенсивностью I_* [1], определяющей нижнюю границу значимости эффектов экранирования, и интенсивностью I_E , определяющей область существенности аккумуляционных эффектов. В случае $I_E \gtrsim I_*$ с ростом интенсивности освещения сначала появляется сублинейный участок зависимости $j(I_i)$, а затем в области сильных изменений поля вблизи границ полупроводника функция $j(I_i)$ снова становится линейной. В противоположном случае $I_E < I_*$ режим насыщения не реализуется, и зависимость $j(I_i)$ остается линейной, лишь увеличивая наклон. Грубую оценку интенсивности I_E можно получить интегрированием уравнения Пуассона в пределах области шириной δ^+ . Полагая, что изменение поля в этом слое составляет ξ -долю от

E_e , концентрация $n_0 = I_i/V_n^T \gg n(\delta^+)$, толщина $\delta^+ = 2l_E^e$, получаем с использованием формулы трапеций выражение $4\pi e n_0 l_E^e / \varepsilon = \xi E_e$, из которого следует

$$I_E = \xi \frac{\varepsilon E_e^2 V_n}{4\pi k T} T_n. \quad (26)$$

При $E_e = 2 \cdot 10^3$ В/см, $\xi = 0.1$, $V_n = 8.5 \cdot 10^6$ см/с и $T_n = 10^{-6}$ получаем $I_E = 10^{15}$ см $^{-2} \cdot$ с $^{-1}$, что хорошо согласуется с результатом численного расчета. С учетом выражений (18) и (26) для I_* и I_E условие $I_E \gtrsim I_*$ переходит в

$$T_n \gtrsim \frac{\varepsilon}{4\pi\xi} \frac{D_p}{dV_p}, \quad (27)$$

что означает, что структуры с большими туннельными прозрачностями границ имеют сублинейный участок в зависимости $j(I_i)$.

Появление вблизи электродов областей повышенной плотности объемного заряда является характерной особенностью сильно смещенных освещаемых высокоомных МДПДМ структур. Возникает естественный вопрос — какие процессы замедлят рост концентраций и поля вблизи границ полупроводника. По нашему мнению, таким процессом является инжекция носителей из металла в результате значительного падения напряжения на пленке, снижающего потенциальный барьер, преодолеваемый тунNELирующей частицей, при попадании в соответствующую зону полупроводника. В частности, в диэлектрике толщиной $d_i = 30$ Å при поле $E_i = (\varepsilon_s/\varepsilon_i)E_0 \simeq 3 \cdot 10^5$ В/см значение $V_i = 0.1$ В. Данный эффект приводит к увеличению значений p_0 и n_d , дополнительному инжекционному току и усилинию рекомбинации носителей (через уровень на поверхности), что замедлит рост значений n_0 , p_d и E_0 , E_d . Величина дырочного тока может быть вычислена из (25) при замене p_0^{eq} на $p_0^{eq} \exp(eV_i^0/kT)$. Для оценки области параметров, в которой инжекция дырок с анода становится существенной, приравняем ток j_0 к значению $\xi e I_i$ ($\xi \gtrsim 0.1$). Пренебрегая электронной компонентой тока j_0 , приходим к уравнению для безразмерного напряжения $\psi = eV_i^0/kT$

$$e^\psi = \gamma \beta \psi^2, \quad \gamma = \frac{\varepsilon_i^2}{8\pi\varepsilon_s} \frac{V_n^T}{V_p^T} \frac{kT}{e^2 d_i^2 p_0^{eq}}, \quad \beta = \xi(1 + 2s_p/v_{dr}^p), \quad (28)$$

Для $\gamma\beta \gg 1$ приближенное решение (28) имеет вид

$$\psi \simeq \ln(\gamma\beta)(1 + 2 \ln \ln(\gamma\beta)/(\ln(\gamma\beta) - 2)). \quad (29)$$

Для $\varphi_{Bn} = 1$ В, $d_i = 30$ Å, $\varepsilon_s = 10.9$, $\varepsilon_i = 3$, $V_n^T/V_p^T = 1.4$, $T = 300$ К, $\xi = 0.1$, $\beta = 0.2$ получим $\gamma = 4.7 \cdot 10^6$, $\psi = 17.2$, $V_i^0 = 0.44$ В, $E_i = 1.5 \cdot 10^6$ В/см, $E_0 = 4 \cdot 10^5$ В/см.

Из (28) следует, что режим инжекции наступает при меньших значениях V_i^0 для больших значений φ_{Bn} и меньших температур.

Список литературы

- [1] П.Г. Кашерининов, Б.И. Резников, Г.В. Царенков. ФТП, **26**, 1480 (1992).
- [2] Б.И. Резников, Г.В. Царенков. ФТП, **27**, 1262 (1993).
- [3] Б.И. Резников, Г.В. Царенков. ФТП, **28**, 242 (1994).
- [4] Б.И. Резников, Г.В. Царенков. ФТП, **28**, 867 (1994).
- [5] Б.И. Резников, Г.В. Царенков. ФТП, **28**, 1788 (1994).
- [6] Б.И. Резников, Г.В. Царенков. ФТП, **29**, 1430 (1995).
- [7] Б.И. Резников, Г.В. Царенков. ФТП, **29**, 2189 (1995).
- [8] М.А. Green, J. Shewchun. Sol. St. Electron., **17**, 349 (1974).
- [9] А.А. Саченко, О.В. Снитко. *Фотоэфекты в приповерхностных слоях полупроводников* (Киев, Наук. думка, 1984).
- [10] Б.И. Резников, Г.В. Царенков. ФТП, **25**, 1922 (1991).
- [11] В.И. Стриха. *Теоретические основы работы контакта металл–полупроводник* (Киев, Наук. думка, 1974) с. 36.
- [12] J.G. Simmons, G.W. Taylor. Sol. St. Electron., **29**, 287 (1986).
- [13] А.А. Гуткин, В.Е. Седов. ФТП, **10**, 1589 (1976).
- [14] Н. Мотт, Р. Герни. *Электронные процессы в ионных кристаллах* (М., ИИЛ, 1950) с. 194.

Редактор В.В. Чалдышев

Carrier Accumulation and Strong Electric Fields Near the Electrodes in the Illuminated High-resistivity MISIM Structures

B.I. Reznikov, G.V. Tsarenkov

A.F.Ioffe Physical-technical Institute,
Russian Academy of Sciences,
194021 St.Petersburg, Russian

Abstract Effect of the dielectric layer tunnel transparency $T_{n,p}$ on electric field distribution and the current-intensity dependence in a strongly biased pure high-resistivity metal-insulator-semiconductor-insulator-metal structure (MISIM) has been examined.

It has been shown that with decreasing $T_{n,p}$ carriers accumulate near the opposite sign electrodes and their density rises sharply in layers of the order of $l_E = kT/eE_e$ ($E_e = V/d$) in thickness. A region of parameters has been determined where accumulation effects are so high that electric field near the electrodes significantly rises and exceeds noticeably the mean field.

The current-transparency dependence is determined by Schottky barrier. At moderate fields, if photocurrent is much higher than the dark one, the current density rises slightly with decreasing $T_{n,p}$ and tends to the maximum value eI_i . At strong fields current rises sharply due to carrier injection through the lowered potential barrier.

E-mail: reznikov@numer.ioffe.rssi.ru (Резников Б.И.)